

УДК 544.228

DOI: 10.15372/KhUR20160513

Протонная проводимость в In, Mg-допированных титанатах висмута со структурой типа пирохлора

А. Г. КРАСНОВ¹, М. М. ПИСКАЙКИНА², И. В. ПИЙР¹¹Институт химии Коми НЦ Уральского отделения РАН,
Сыктывкар, Россия

E-mail: alexey-krasnov@rambler.ru

²Ухтинский государственный технический университет,
Ухта, Россия

(Поступила 21.12.15; после доработки 24.03.16)

Аннотация

С помощью твердофазного синтеза и методом сжигания нитрат-органических прекурсоров получены новые твердые растворы титанатов висмута со структурой типа пирохлора $\text{Bi}_{2-y}\text{In}_x\text{Ti}_2\text{O}_{7-\delta}$ ($y = 0.4$ при $x = 0.2-0.6$; $y = 0.6$ при $x = 0.4-0.6$) и $\text{Bi}_{2-y}\text{Mg}_x\text{Ti}_2\text{O}_{7-\delta}$ ($y = 0.4$ при $x = 0.05-0.3$; $y = 0.6$ при $x = 0.1-0.6$). Образование однофазных соединений со структурой типа пирохлора подтверждено методом РФА. Согласно результатам количественного элементного анализа и локального микронализма, химический состав образцов остается неизменным после высокотемпературного обжига. На основании сопоставления пикнometрической и рентгенографической плотностей соединений предложен вариант распределения атомов донантов (In, Mg) по кристаллографическим позициям структуры пирохлора. Показано, что атомы индия и магния заселяют изначально вакантные A (Bi)-позиции структуры пирохлора. С повышением содержания донанта часть атомов In и Mg занимают B (Ti)-позиции. Результаты полнопрофильной обработки дифрактограммы соединения $\text{Bi}_{1.6}\text{In}_{0.4}\text{Ti}_2\text{O}_7$, выполненной с различными вариантами распределения донанта (In), совпадают с результатами сопоставления пикнometрической плотности и плотностей, рассчитанных для определенного катионного распределения – попадания всех атомов индия в вакантные A (Bi)-позиции. Установлено, что наличие вакансий в висмутовой и кислородной подрешетке O' структуры пирохлора приводит к появлению протонной проводимости во влажной атмосфере в области температур 240–640 °C. Соединения $\text{Bi}_{1.6}\text{In}_{0.2}\text{Ti}_2\text{O}_{6.7}$ и $\text{Bi}_{1.4}\text{Mg}_{0.1}\text{Ti}_2\text{O}_{6.2}$ характеризуются величиной протонной проводимости, равной $2.2 \cdot 10^{-6}$ См/см при температуре 400 °C и частоте прилагаемого поля 1 кГц, что на 1.5–2 порядка выше при измерении этого параметра в условиях сухой атмосферы воздуха.

Ключевые слова: допированные титанаты висмута, пирохлор, катионное распределение, протонная проводимость

ВВЕДЕНИЕ

Соединения с протонной проводимостью интересны как объекты исследования в связи с возможностью их широкого применения. Протонные проводники перспективны для использования в качестве компонентов различных электрохимических устройств, таких как газовые сенсоры, электролизеры, мембранны топливных элементов. Так, например, замена электролита с кислородно-ионной прово-

димостью в твердооксидных топливных элементах ТОТЭ (рабочая температура $T > 800$ °C) на материал с протонной проводимостью ($T < 600$ °C) позволит снизить расходы в ходе эксплуатации и откроет для ТОТЭ новые области применения [1].

Согласно данным [2, 3], соединения со структурой типа пирохлора обладают протонной проводимостью в температурном диапазоне 200–500 °C. Титанат висмута со структурой пирохлора благодаря возможной высо-

кой степени дефектности в подрешетке висмута и кислорода O' [4] является перспективным соединением, обладающим ионной проводимостью. Известная термическая нестабильность ограничивает его широкое применение и получение с помощью традиционных реакций твердофазного синтеза [5, 6]. Допиривание пирохлора титаната висмута позволяет повысить термоустойчивость, влияет на кристаллическое строение и, как следствие, на свойства получаемых соединений [7–10].

В настоящей работе представлены результаты синтеза новых In-, Mg-содержащих титанатов висмута со структурой типа пирохлора, исследовано распределение атомов донанта по кристаллографическим позициям и протонный транспорт в образцах $\text{Bi}_{2-y}\text{M}_x\text{Ti}_2\text{O}_{7-\delta}$ ($M = \text{In}, \text{Mg}$).

ЭКСПЕРИМЕНТАЛЬНАЯ ЧАСТЬ

Синтез соединений со структурой типа пирохлора $\text{Bi}_{2-y}\text{In}_x\text{Ti}_2\text{O}_{7-1.5y+1.5x}$ ($y = 0.4$ при $x = 0.2\text{--}0.6$; $y = 0.6$ при $x = 0.4\text{--}0.6$) и $\text{Bi}_{2-y}\text{Mg}_x\text{Ti}_2\text{O}_{7-1.5y+x}$ ($y = 0.4$ при $x = 0.05\text{--}0.3$; $y = 0.6$ при $x = 0.1\text{--}0.6$) проводили с помощью твердофазной реакции и методом сжигания нитрат-органических прекурсоров соответственно. В качестве реагентов использовали: Bi_2O_3 (квалификация "х. ч."), $\text{Bi}(\text{NO}_3)_3 \cdot 5\text{H}_2\text{O}$ ("ч. д. а."), TiO_2 ("х. ч."), In_2O_3 ("ч."), $\text{Mg}(\text{NO}_3)_2 \cdot 6\text{H}_2\text{O}$ ("х. ч."), лимонную кислоту ("х. ч."). Количества исходных веществ рассчитывали в соответствии со стехиометрическими формулами получаемых продуктов реакции. Шихту, спрессованную в виде таблеток, прокаливали в следующем температурном режиме, °C: 650 (5 ч), 850 (5 ч), 1000 (5 ч), 1100 (12 ч), 1150 (12 ч) – для In-содержащих образцов. Для Mg-содержащих титанатов висмута выбран следующий режим последовательной термообработки, °C: 650 (5 ч), 850 (5 ч), 1050 (10 ч), 1100 (20 ч). Все стадии обжига проводили в воздушной атмосфере.

Фазовый состав образцов исследовали методом рентгенофазового анализа (РФА) с помощью дифрактометра Shimadzu XRD-6000 (CuK_α -излучение, $\lambda = 1.54056 \text{ \AA}$, угловой интервал $10\text{--}100^\circ$, шаг 0.05°).

Состав полученных соединений определяли методом энергодисперсионного микроана-

лиза (EDX) на сканирующем электронном микроскопе VEGA-3M фирмы Tescan с использованием приставки X-act и методом атомно-эмиссионной спектроскопии с индуктивно связанный плазмой (АЭС-ИСП) на спектрометре Spectro Ciros (Германия).

Анализ профиля дифрактограмм по методу Риттельда выполнен с использованием пакета программ FullProf [11]. Измерение пикнometрической плотности проведено на воздухе в соответствии со стандартной методикой [12].

Подготовленные однофазные образцы прессовали в виде таблеток толщиной 1–2 мм, диаметром 12–13 мм и обжигали для получения плотной керамики. Торцы таблеток покрывали серебряной пастой методом вжигания. Электрические свойства изучали двухзондовым методом, используя мост переменного тока RLC MT-4090. Температурные зависимости емкости (C_p) и тангенса угла диэлектрических потерь D снимали в интервале температур 200–750 °C при частотах налагаемого поля $\omega = 1\text{--}200$ кГц. Температуру в печи контролировали хромель-алюмелевой термопарой, присоединенной к регулятору-измерителю температуры ТП703-10у. Показания прибора оставались неизменными при термостатировании в течение 10 мин. Проводимость изучали в атмосфере влажного и сухого воздуха. Влажный воздух создавали путем его продувки над дистиллированной водой при комнатной температуре. По результатам измерения электрических характеристик построены температурные зависимости удельной проводимости в координатах $\lg \sigma = f(10^3/T)$.

РЕЗУЛЬТАТЫ И ОБСУЖДЕНИЕ

Образцы индийсодержащих титанатов висмута со структурой типа пирохлоры получены твердофазным синтезом, магнийсодержащие титанаты висмута – методом сжигания нитрат-органических прекурсоров. С помощью метода РФА показано, что все синтезированные объекты однофазные и описываются структурным типом пирохлора ($Fd\bar{3}m$, ICSD 50983).

Методами EDX и АЭС-ИСП в полученных образцах установлено соотношение элементов ($\text{Bi}/M/\text{Ti}$, где $M = \text{Mg}, \text{In}$). Расчет индек-

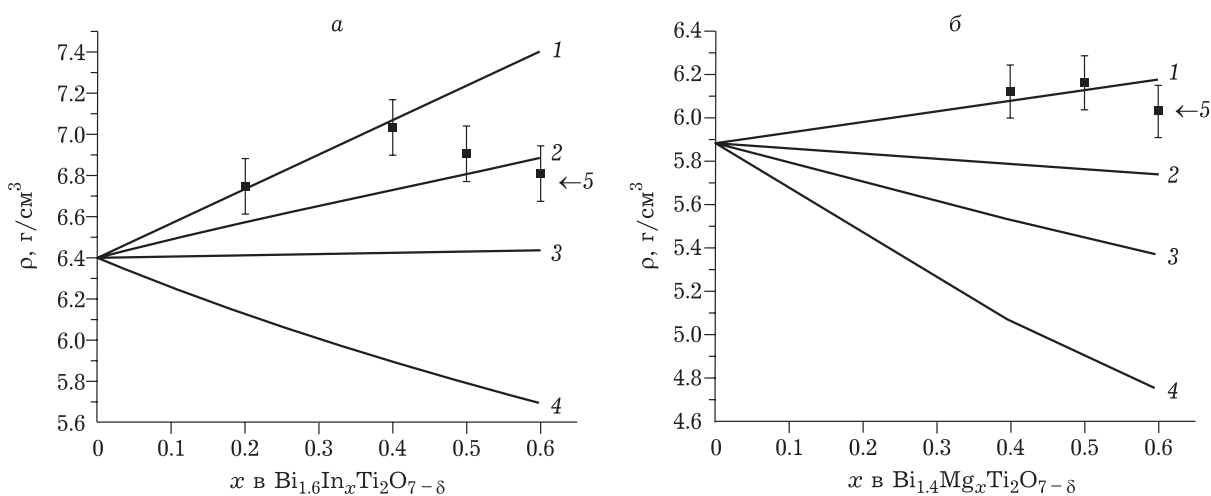


Рис. 1. Концентрационная зависимость пикнометрических и рентгенографических плотностей для различных вариантов распределения атомов донора (In или Mg): 1 – 100 % атомов в А-позициях; 2 – 75 % атомов в А-позициях, 25 % в В-позициях; 3 – 50 % в А-позициях, 50 % в В-позициях; 4 – 100 % атомов в В-позициях; 5 – пикнометрическая плотность $\rho_{\text{пикн}}$.

сов проведен с учетом сохранения значения по титану, равного двум. Из данных EDX для соединения $\text{Bi}_{1.6}\text{In}_{0.4}\text{Ti}_2\text{O}_7$ следует, что после проведения синтеза локальный состав близок между собой, заданное соотношение элементов сохраняется: $\text{Bi}_{1.71}\text{In}_{0.34}\text{Ti}_2\text{O}_7 - \delta$, $\text{Bi}_{1.70}\text{In}_{0.33}\text{Ti}_2\text{O}_7 - \delta$, $\text{Bi}_{1.70}\text{In}_{0.35}\text{Ti}_2\text{O}_7 - \delta$. Его состав, полученный по результатам исследования ме-

тодом АЭС–ИСП ($\text{Bi}_{1.71}\text{In}_{0.43}\text{Ti}_2\text{O}_7 - \delta$) близок к изначально заданному.

Структура типа пирохлора $\text{A}_2\text{B}_2\text{O}_6\text{O}'$ характеризуется наличием двух неэквивалентных катионных позиций: А-позиции занимает крупный по размерам катион (Bi^{3+}), в В-позициях находится меньший катион (Ti^{4+}). Попадание катионов донора в ту или другую

ТАБЛИЦА 1

Результаты полнопрофильного анализа для $\text{Bi}_{1.6}\text{In}_{0.4}\text{Ti}_2\text{O}_7$

Модели	Атом	Положение	x	y	z	B_{iso} , Å ²	Заселенность позиций
1						$(\text{Bi}_{1.6}\text{In}_{0.4})\text{Ti}_2\text{O}_7$	
	Bi/In	16c	0	0	0	1.80	0.8/0.2
	Ti/In	16d	1/2	1/2	1/2	0.01	1/0
	O	48f	1/8	1/8	0.437	0.49	1
	O'	8a	1/8	1/8	1/8	0.01	1
	$a = 10.3480$ Å; $R_p = 6.28$ %; $R_{wp} = 8.81$ %; $\chi^2 = 4.52$						
2						$(\text{Bi}_{1.45}\text{In}_{0.18}\text{O}_{0.37})(\text{Ti}_{1.82}\text{In}_{0.18})\text{O}_{6.36}$	
	Bi/In	16c	0	0	0	1.06	0.725/0.09
	Ti/In	16d	1/2	1/2	1/2	3.03	0.91/0.09
	O	48f	1/8	1/8	0.428	3.40	1
	O'	8a	1/8	1/8	1/8	0.1	0.36
	$a = 10.3478$ Å; $R_p = 6.36$ %; $R_{wp} = 8.53$ %; $\chi^2 = 4.23$						
3						$(\text{Bi}_{1.6}\text{In}_{0.4})\text{Ti}_2\text{O}_7$	
	Bi/In	96h	0	0.023	-0.023	0.01	0.8/0.2
	Ti/In	16d	1/2	1/2	1/2	0.1	1/0
	O	48f	1/8	1/8	0.437	0.1	1
	O'	8a	1/8	1/8	1/8	0.1	1
	$a = 10.3486$ Å; $R_p = 5.73$ %; $R_{wp} = 7.92$ %; $\chi^2 = 3.65$						

подрешетку пирохлора зависит от ионного радиуса и зарядового состояния катиона-заместителя. Известно, что в титанате висмута со структурой пирохлора возможна высокая степень дефектности по подрешетке висмута [4]. Изначально задаваемый при синтезе дефицит висмута может способствовать заселению атомами донанта A-позиций. Распределение атомов донанта по кристаллографическим позициям структуры типа пирохлора изучено сопоставлением пикнотрической и рентгенографической плотностей соединений, а также в ходе структурного анализа.

Пикнотрические плотности соединений сопоставлены с теоретической рентгенографической плотностью, рассчитанной для различных вариантов размещения атомов донанта (In, Mg) по катионным позициям структуры типа пирохлора (рис. 1). Параметр элементарной ячейки индийсодержащих соединений с формулой $\text{Bi}_{1.6}\text{In}_x\text{Ti}_2\text{O}_{7-\delta}$ принят равным 10.338 \AA , в случае составов $\text{Bi}_{1.4}\text{Mg}_x\text{Ti}_2\text{O}_{7-\delta} = 10.313 \text{ \AA}$.

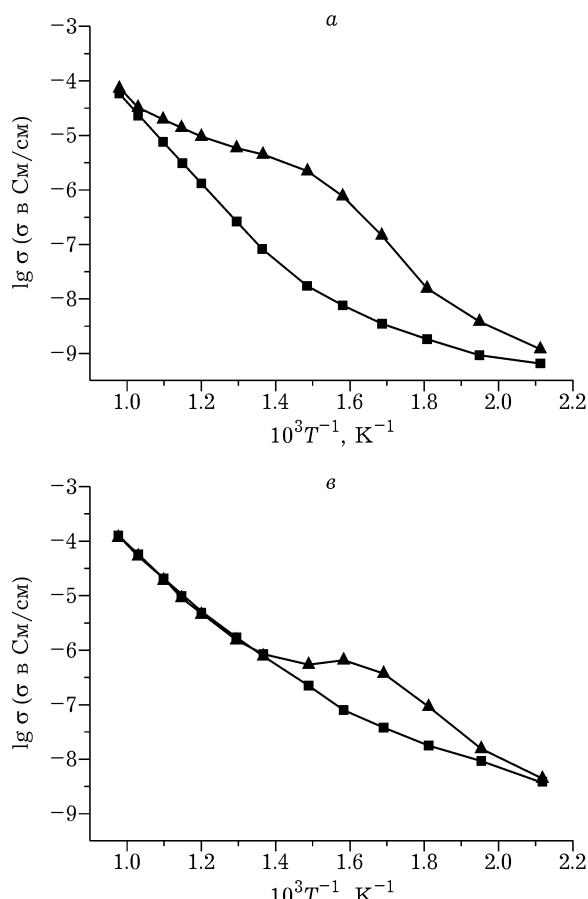


Рис. 3. Температурные зависимости удельной проводимости образцов при частоте 1 кГц: *а* – $(\text{Bi}_{1.6}\text{In}_{0.202})\text{Ti}_2\text{O}_6\text{O}'_{0.7}$; *б* – $(\text{Bi}_{1.6}\text{In}_{0.40})\text{Ti}_2\text{O}_6\text{O}'_1$; *в* – $(\text{Bi}_{1.6}\text{Mg}_{0.050.35})\text{Ti}_2\text{O}_6\text{O}'_{0.45}$. 1 – влажная атмосфера, 2 – сухая.

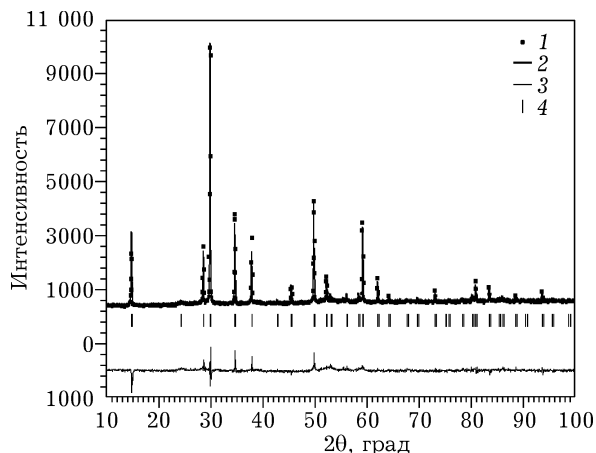
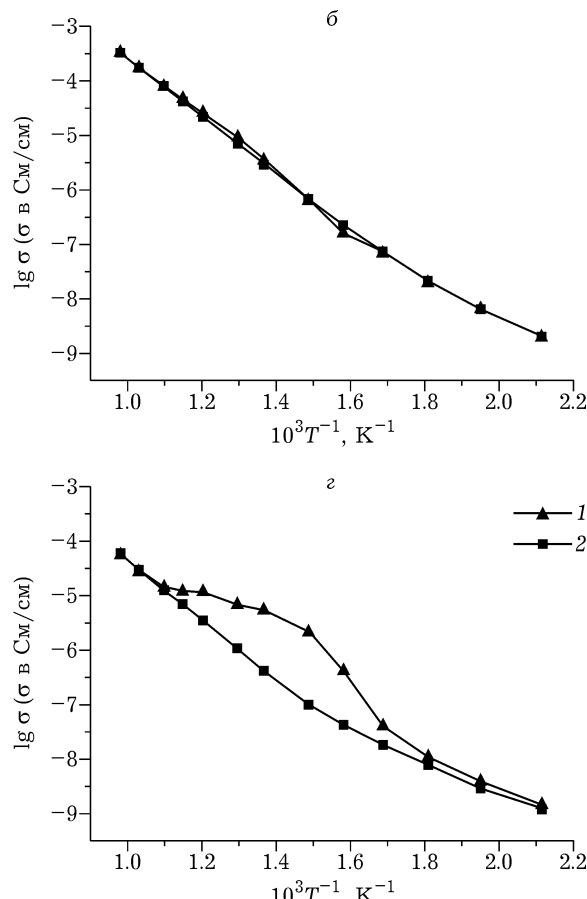


Рис. 2. Дифрактограмма $\text{Bi}_{1.6}\text{In}_{0.4}\text{Ti}_2\text{O}_7$ с учетом полного заселения А-позиций катионами Ви и Ин, а также смещения А-катионов из положений $16c$ в $96h$: 1 – экспериментальные данные; 2 – теоретическая дифрактограмма; 3 – разность между экспериментальной и модельной дифрактограммами; 4 – брэгговские рефлексы.

Значения пикнотрической плотности (с точностью до 2 %) индийсодержащих образцов в диапазоне содержания индия до $x = 0.4$



совпадают с величиной рентгенографической плотности в случае распределения всех атомов индия в A-позиции структуры пирохлора (см. рис. 1, a). При $x > 0.4$ наряду с попаданием в A-позиции возможно размещение части атомов In и в B-позиции. В случае магнийсодержащих соединений $\text{Bi}_{1.4}\text{Mg}_x\text{Ti}_2\text{O}_{7-\delta}$ атомы донанта находятся преимущественно в A-позициях до $x = 0.5$; при дальнейшем увеличении количества магния ($x = 0.6$) часть донанта (до 10 %) попадает в B-позиции (см. рис. 1, б), что характерно для составов с большим количеством донанта [9, 10]. Распределение атомов магния по кристаллографическим позициям в структуре пирохлора для составов $\text{Bi}_{1.6}\text{Mg}_x\text{Ti}_2\text{O}_{7-\delta}$ ($x \leq 0.3$) изучено ранее [13].

Анализ профиля дифрактограммы соединения $\text{Bi}_{1.6}\text{In}_{0.4}\text{Ti}_2\text{O}_7$ по методу Ритвельда осуществлен для трех вариантов распределения атомов донанта: 1) все атомы индия находят-

ся в A-позициях; 2) атомы индия распределены в равных долях в A- и B-позициях; 3) все атомы индия в A-позициях, с учетом смещения атомов висмута и индия из позиций 16c в позиции 96h, как показано ранее для титанатов со структурой типа пирохлора $\text{Bi}_{1.74}\text{Ti}_2\text{O}_{6.62}$ [4] и $\text{Bi}_2\text{Ti}_2\text{O}_7$ [6]. Заселенность позиций фиксировали с учетом атомного состава, также фиксировали тепловое смещение атома кислорода O' по причине его высокой мобильности (табл. 1) [6]. Оптимальные результаты обработки получены для третьего варианта распределения атомов индия, который предполагает изовалентное замещение и отсутствие вакансий в катионной A- и в кислородной O'-подрешетках (рис. 2).

На основе данных измерения электрических характеристик (C_p , D) во влажной и сухой атмосфере построены температурные зависимости удельной проводимости в коорди-

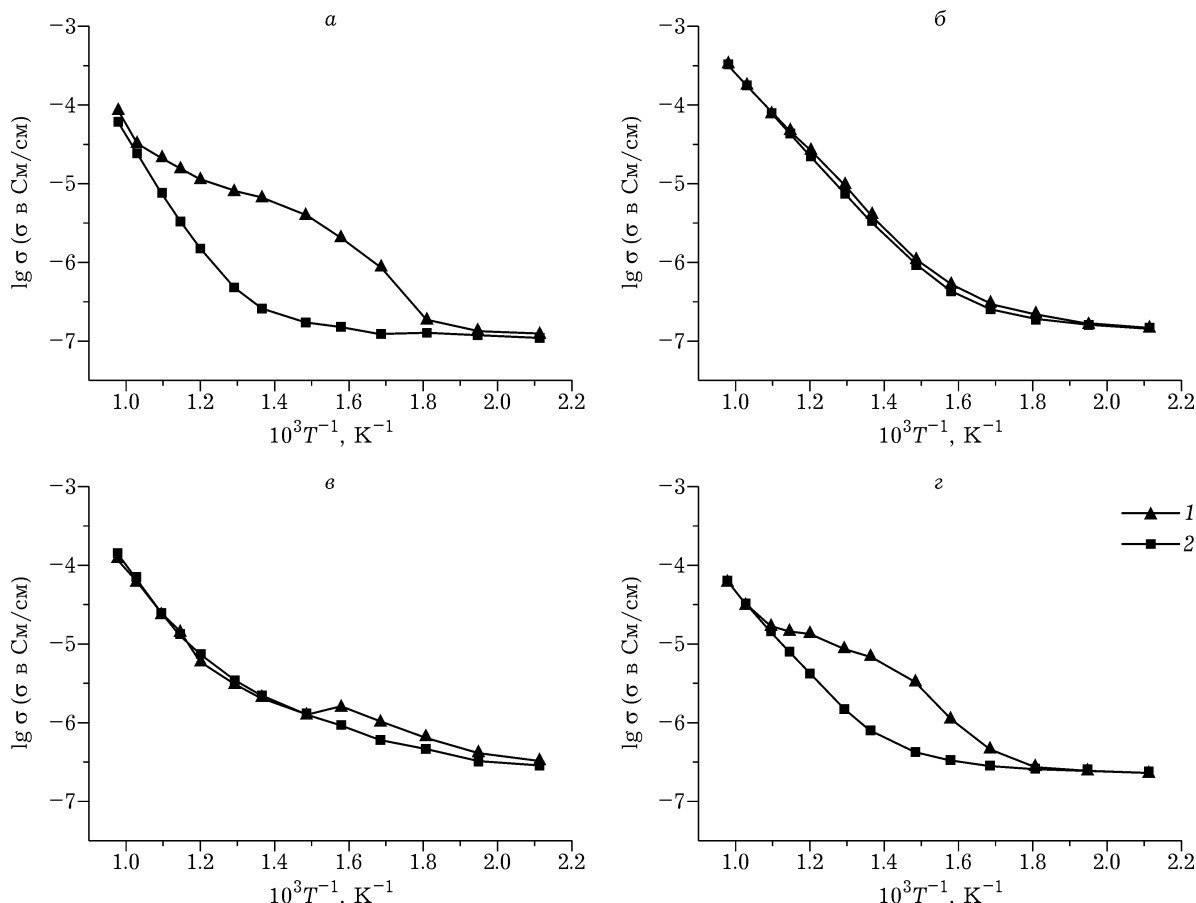


Рис. 4. Температурные зависимости удельной проводимости образцов при частоте 100 кГц: a – $(\text{Bi}_{1.6}\text{In}_{0.20.2})\text{Ti}_2\text{O}_6\text{O}'_0.7$; б – $(\text{Bi}_{1.6}\text{In}_{0.40})\text{Ti}_2\text{O}_6\text{O}'_1$; в – $(\text{Bi}_{1.6}\text{Mg}_{0.050.35})\text{Ti}_2\text{O}_6\text{O}'_0.45$; г – $(\text{Bi}_{1.4}\text{Mg}_{0.10.5})\text{Ti}_2\text{O}_6\text{O}'_0.2$. 1 – влажная атмосфера, 2 – сухая.

натах $\lg \sigma = f(10^3/T)$ (рис. 3, 4). Видно, что для соединений с дефектностью в позициях висмута и, следовательно, с вакансиями в подрешетке O', во влажной атмосфере при температурах 240–640 °C (протонный транспорт) и различных частотах налагаемого переменного тока проводимость возрастает. При полном заселении A-позиций катионами висмута и донанта ($\text{Bi}_{1.6}\text{In}_{0.4}\text{Ti}_2\text{O}_6\text{O}'_1$) вакансий в подрешетке O' нет, и в этом случае температурные зависимости проводимости при нагревании во влажной и сухой атмосфере совпадают, следовательно, протонный перенос отсутствует (см. рис. 3, б и 4, б).

Появление протонного транспорта в оксидных соединениях с кислородными вакансиями обусловлено образованием протонных дефектов в результате диссоциативной абсорбции воды. Вода из газовой фазы адсорбируется на поверхности оксида и диссоциирует на гидроксильный ион и протон; первый входит в кислородную вакансию, а второй образует ковалентную связь с кислородом решетки. Квазихимическая реакция образования двух положительно заряженных протонных дефектов (OH^\bullet) в символике Крегера – Винка выглядит следующим образом [14]:



Таким образом, полученные новые индий- и магнийсодержащие титанаты висмута со структурой пирохлора, обладающие кислородными вакансиями, можно отнести к классу высокотемпературных протонных проводников [15, 16].

ЗАКЛЮЧЕНИЕ

Методами твердофазного синтеза и сжигания нитрат-органических прекурсоров получены новые In, Mg-содержащие титанаты висмута со структурой типа пирохлора состава $\text{Bi}_{2-y}\text{In}_x\text{Ti}_2\text{O}_{7-1.5y+1.5x}$ ($y = 0.4$ при $x = 0.2-0.6$; $y = 0.6$ при $x = 0.4-0.6$) и $\text{Bi}_{2-y}\text{Mg}_x\text{Ti}_2\text{O}_{7-1.5y+x}$ ($y = 0.4$ при $x = 0.05-0.3$; $y = 0.6$ при $x = 0.1-0.6$).

Исследовано распределение атомов In, Mg по кристаллографическим позициям структуры пирохлора. Показано, что атомы индия и магния преимущественно попадают в вакантные A (Bi)-позиции структуры пирохлора до

содержания донанта $x = 0.4$ (в случае $\text{Bi}_{1.6}\text{In}_x\text{Ti}_2\text{O}_{7-\delta}$) и $x = 0.5$ (для $\text{Bi}_{1.4}\text{Mg}_x\text{Ti}_2\text{O}_{7-\delta}$). Дальнейшее повышение концентрации донанта сопровождается попаданием части атомов In и Mg в B (Ti)-позиции.

Наблюдается рост проводимости в соединениях с дефектностью в позициях висмута и, следовательно, с вакансиями в подрешетке O', во влажной атмосфере при температурах 240–640 °C (протонный транспорт). Для составов с полностью занятymi позициями висмута протонный перенос отсутствует.

Исследования выполнены с использованием оборудования Центра коллективного пользования (ЦКП) "Химия" Института химии Коми НЦ УрО РАН.

Работа выполнена при финансовой поддержке РФФИ (проекты № 15-03-09173; 16-33-00153 мол_а) и частичной поддержке программы Фонда содействия развитию малых форм предприятий в научно-технической сфере УМНИК. (договор № 6275 ГУ2/2015 от 30.06.2015).

СПИСОК ЛИТЕРАТУРЫ

- 1 Fabbri E., Bi L., Pergolesi D., Traversa E. // Adv. Mater. 2012. Vol. 24, No. 2. P. 195–208.
- 2 Eurenus K. E. J., Ahlberg E., Knee C. S. // Solid State Ionics. 2010. Vol. 181, No. 27–28. P. 1258–1263.
- 3 Eurenus K. E. J., Ahlberg E., Ahmed I., Eriksson S. G., Knee C. S. // Solid State Ionics. 2010. Vol. 181, No. 3–4. P. 148–153.
- 4 Radosavljevic I., Evans J. S. O., Sleight A. W. // J. Solid State Chem. 1998. Vol. 136. P. 63–66.
- 5 Esquivel-Elizondo J. R., Hinojosa B. B., Nino J. C. // Chem. Mater. 2011. Vol. 23, No. 22. P. 4965–4974.
- 6 Hector A. L., Wiggin S. B. // J. Solid State Chem. 2004. No. 177. P. 139–145.
- 7 Kunej S., Suvorov D. // J. Am. Ceram. Soc. 2009. Vol. 92. P. 959–961.
- 8 Kunej S., Scapin S. D., Suvorov D. // J. Am. Ceram. Soc. 2012. Vol. 95. P. 1201–1203.
- 9 Piir I. V., Koroleva M. S., Ryabkov Y. I., Korolev D. A., Chezhina N. V., Semenov V. G., Panchuk V. V. // J. Solid State Chem. 2013. Vol. 204. P. 245–250.
- 10 Piir I. V., Koroleva M. S., Ryabkov Y. I., Pikalova E. Yu., Nekipelov S. V., Sivkov V. N., Vyalykh D. V. // Solid State Ionics. 2014. Vol. 262. P. 630–635.
- 11 Rodriguez-Carvajal J. // Physica B. 1993. Vol. 192, No. 1–2. P. 55–69.
- 12 ГОСТ 2211–65. Огнеупоры и огнеупорное сырье. Методы определения плотности. Введ. 30.06. 1966. М.: Издво стандартов, 1994. 12 с.
- 13 Краснов А. Г., Пискайкина М. М., Пийр И. В. // Журн. общ. химии. 2016. Т. 86, № 2. С. 177–184.
- 14 Kreuer K. D. // Annu. Rev. Mater. Res. 2003. Vol. 33. P. 333–359.
- 15 Анимица И. Е. // Электрохимия. 2009. Т. 45, № 6. С. 712–721.
- 16 Кочетова Н. А., Анимица И. Е., Нейман А. Я. // Электрохимия. 2010. Т. 46, № 2. С. 177–182.